

50hPa

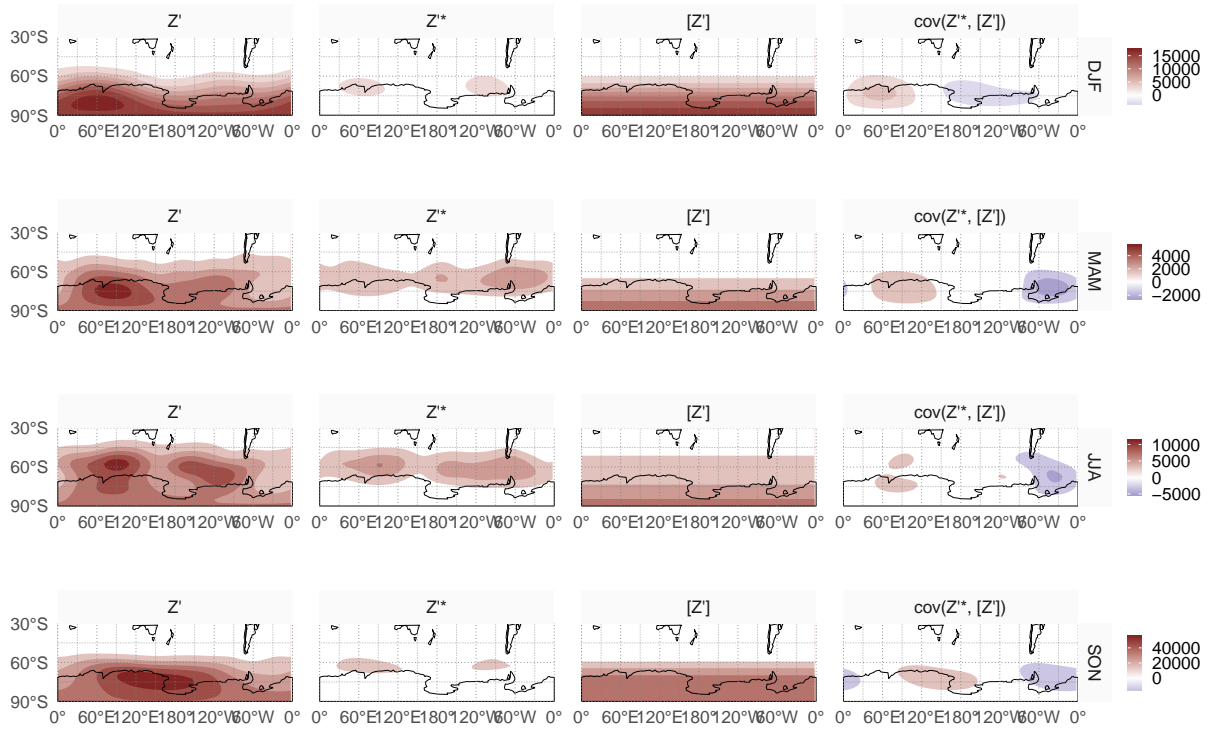


Figure 1: Descomposición de la varianza de Z' en 50hPa

Vamos a separar las anomalías de geopotencial Z' en su partes zonalmente simétricas y asimétricas

$$Z' = Z'^* + [Z']$$

La varianza de Z' entonces puede descomponerse en:

$$\text{var}(Z') = \text{var}(Z'^*) + \text{var}([Z']) + 2\text{cov}(Z'^*, [Z'])$$

La varianza de la parte zonalmente simétrica de geopotencial tiene siempre la misma estructura de máxima varianza en los polos. Esto creo que hay que agarrarlo con pinzas porque podría deberse más que nada a la dependencia con el parámetro de coriolis. Podría estar señalando que es más razonable manejarse con la función corriente. Lo malo es que no encuentro dónde bajar la función corriente en ERA.

En cualquier caso, la varianza de Z'^* es máxima en latitudes polares y longitudinalmente maximiza al sur de sudamérica y al sur del Índico en todas las estaciones, prácticamente. Sin embargo, el campo de varianza total no tiene ese doble máximo salvo en JJA y la razón está en la estructura de la covarianza. En todas las estaciones hay un máximo de covarianza negativa cerca de la península antártica que cancela el máximo de varianza de Z'^* . Esta estructura “bipolar” es interesante pero hay que tener cuidado. Por las fórmulas matemáticas, el promedio zonal de la covarianza de Z'^* y $[Z']$ tiene que ser nulo, por lo que es una certeza matemática que zonas con covarianza positiva tienen que estar compensadas por áreas con covarianza negativa.

En 200hPa hay algunos cambios. La estructura de varianza es tiene escalas espaciales más pequeñas. Esto es de esperarse dado que como las ondas cortas no se propagan verticalmente tanto como las largas, toda la

200hPa

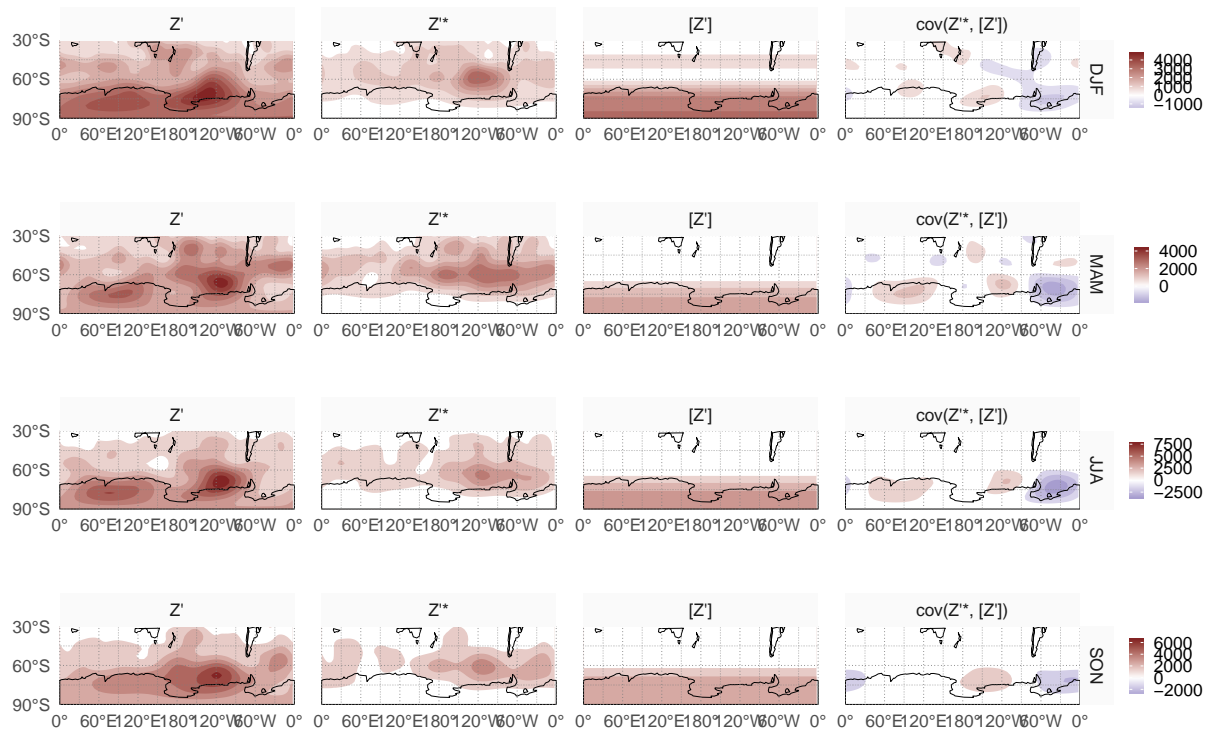


Figure 2: Descomposición de la varianza de Z' en 200hPa

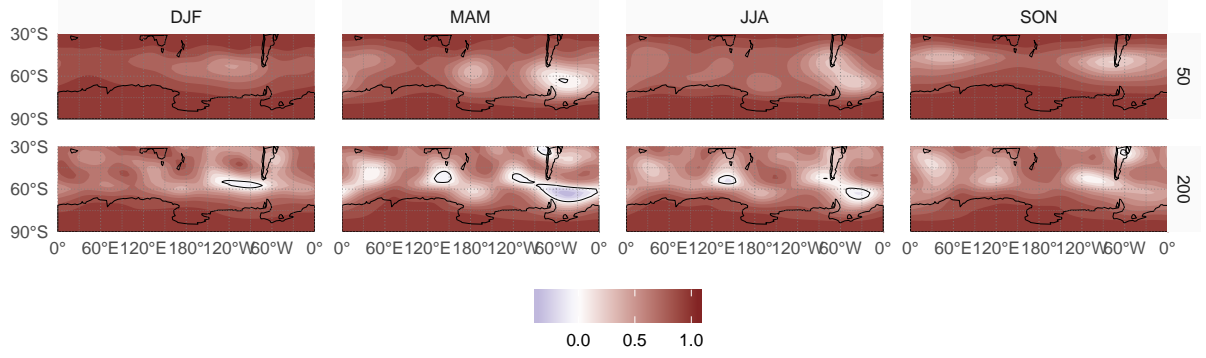


Figure 3: Correlación entre Z y $[Z]$

estructura de la estratósfera es más “suave” que la de la tropósfera. La varianza de $[Z']$ sigue siendo máxima en el polo sur, salvo en verano, que tiene un máximo en latitudes medias que probablemente corresponda a la variabilidad del jet subtropical. La varianza de Z^* maximiza en latitudes plares igual que en 5hPa, pero en vez de tener dos máximos, tiene uno solo que coincide con la Baja de Amundsen. En cuanto a la covarianza, sigue teniendo un máximo negativo en el mar de Weddell.

Para analizar con más detalle la relación entre Z y $[Z]$ pero sin los problemas matemáticos de la covarianza mostrada arriba, abajo muestro directamente la correlación entre Z (sin ningún filtro) y $[Z]$.

Como era de esperarse, la correlación es positiva en casi todos lados y muy cercana a uno por la estructura principalmente zonal de la circulación del hemisferio Sur. Sin embargo, resaltan áreas de correlación mínima. Estas se dan entre 45°S y 75°S aproximadamente aunque varían según la estación y el nivel. Es notorio encontrar que sobre el Pasaje de Drake la correlación es negativa en otoño (aunque no estadísticamente significativa).

El PC1 en 50 hPa “va” con el PC2 en 200 tanto en estructura como en series temporales. Abajo se muestra las correlaciones entre las series temporales de cada componente principal y cada nivel y para la parte imaginaria y real respectivamente. El cPC2 en 50hPa tiene una alta correlación con el cPC1 en 200hPa en JJA y SON. Entonces está claro que es el mismo modo que tiene una estructura barotrópica equivalente y que se propaga hacia o desde la estratósfera. En DJF y MAM la sincronización entre niveles se da más bien entre el PC1 de ambos niveles (aunque en menor medida).

Esto motiva hacer el EOF con ambos niveles juntos de manera de obtener modos de oscilación conjuntos. Lo bueno de esto es que reduce la dimensión del problema ya que se reducen las series temporales a la mitad (porque hay una sola serie temporal para cada componente principal para los dos niveles).

Estas nuevas componentes principales son parecidas a las anteriores sólo que se agrupan de forma más explícita según la covariabilidad entre 200hPa y 50hPa. En general, tienen una estructura barotrópica equivalente. En DJF

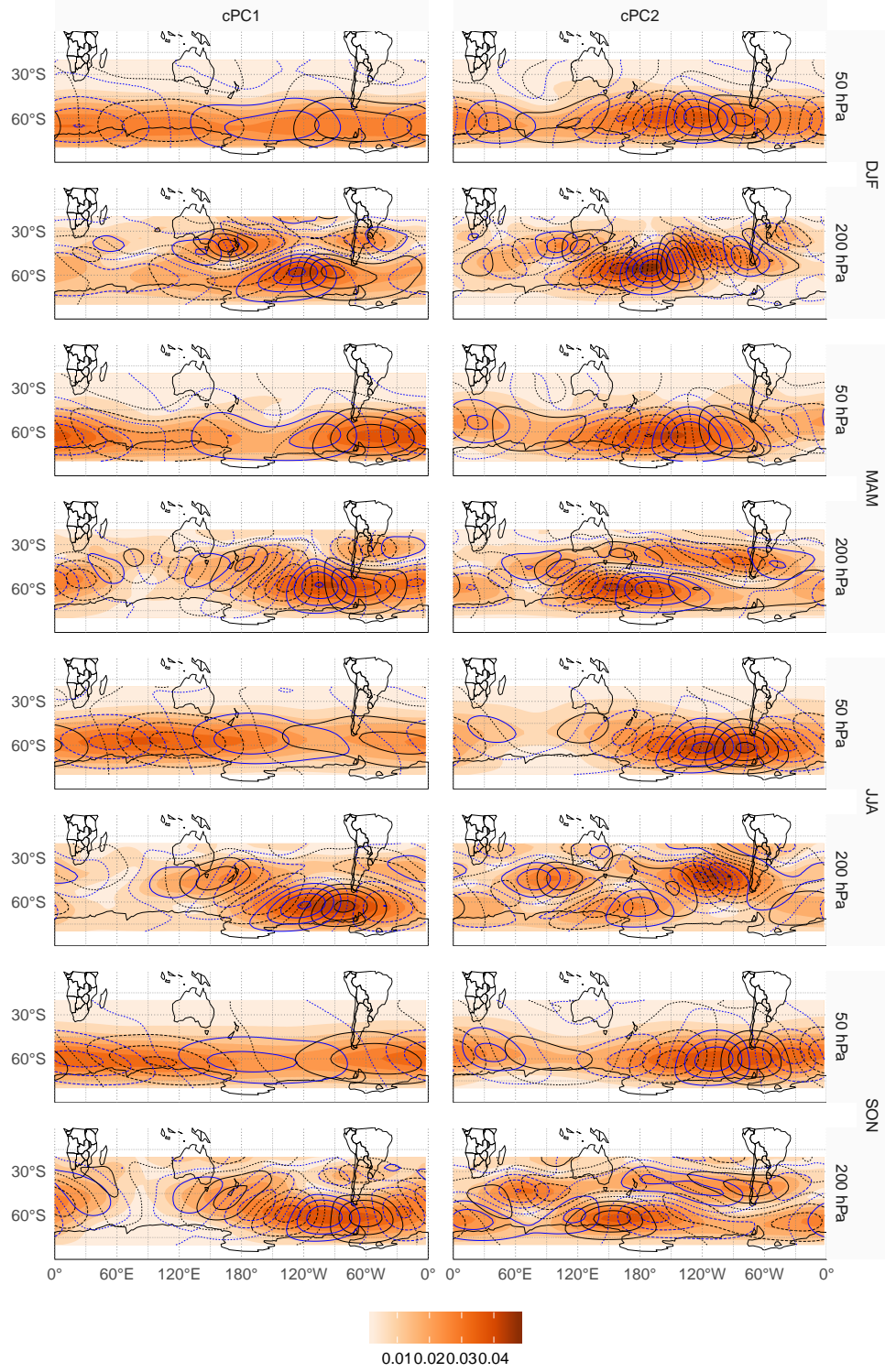


Figure 4: Patrones espaciales del EOF complejo. Valor absoluto en sombreado, parte real en linea negra y parte imaginaria en linea azul. (dataset = ERA Interim)

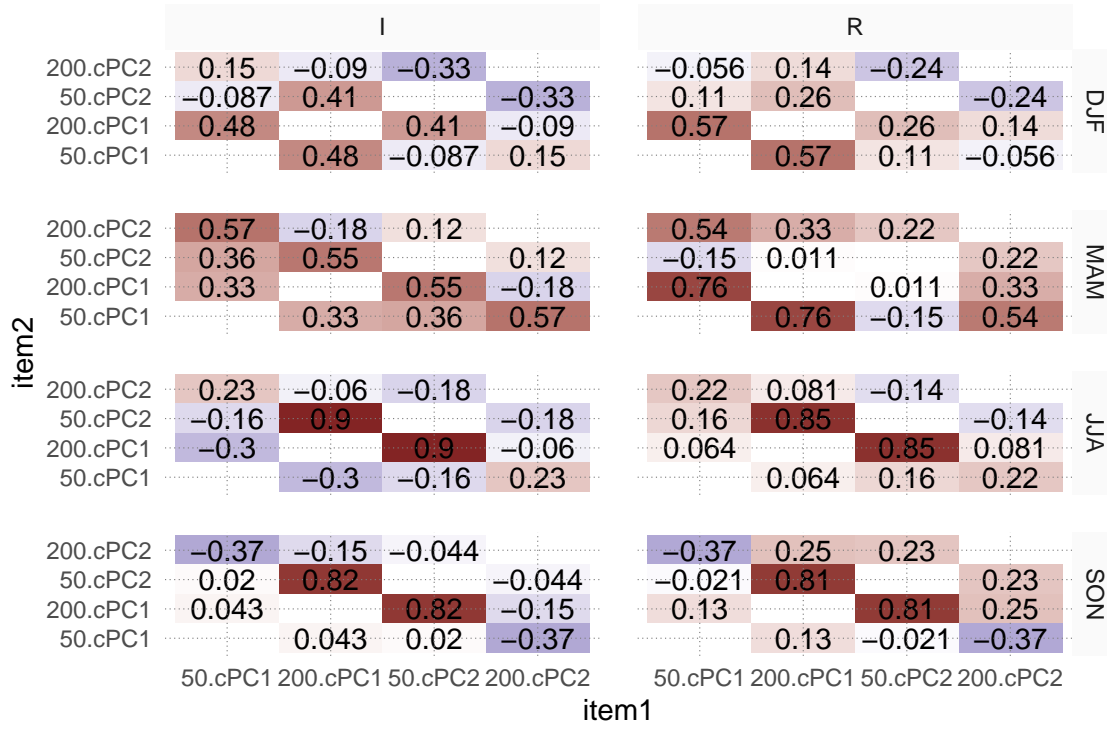
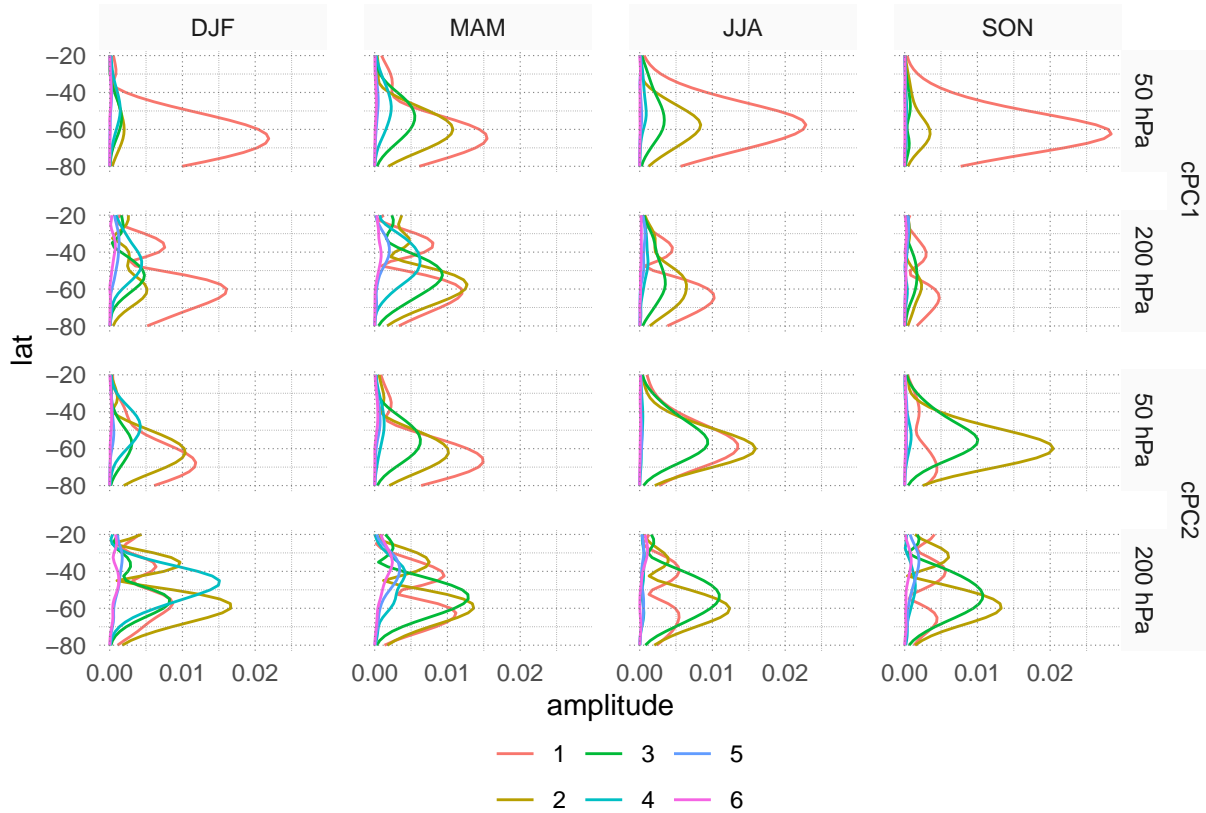


Figure 5: Correlaciones entre componentes principales.



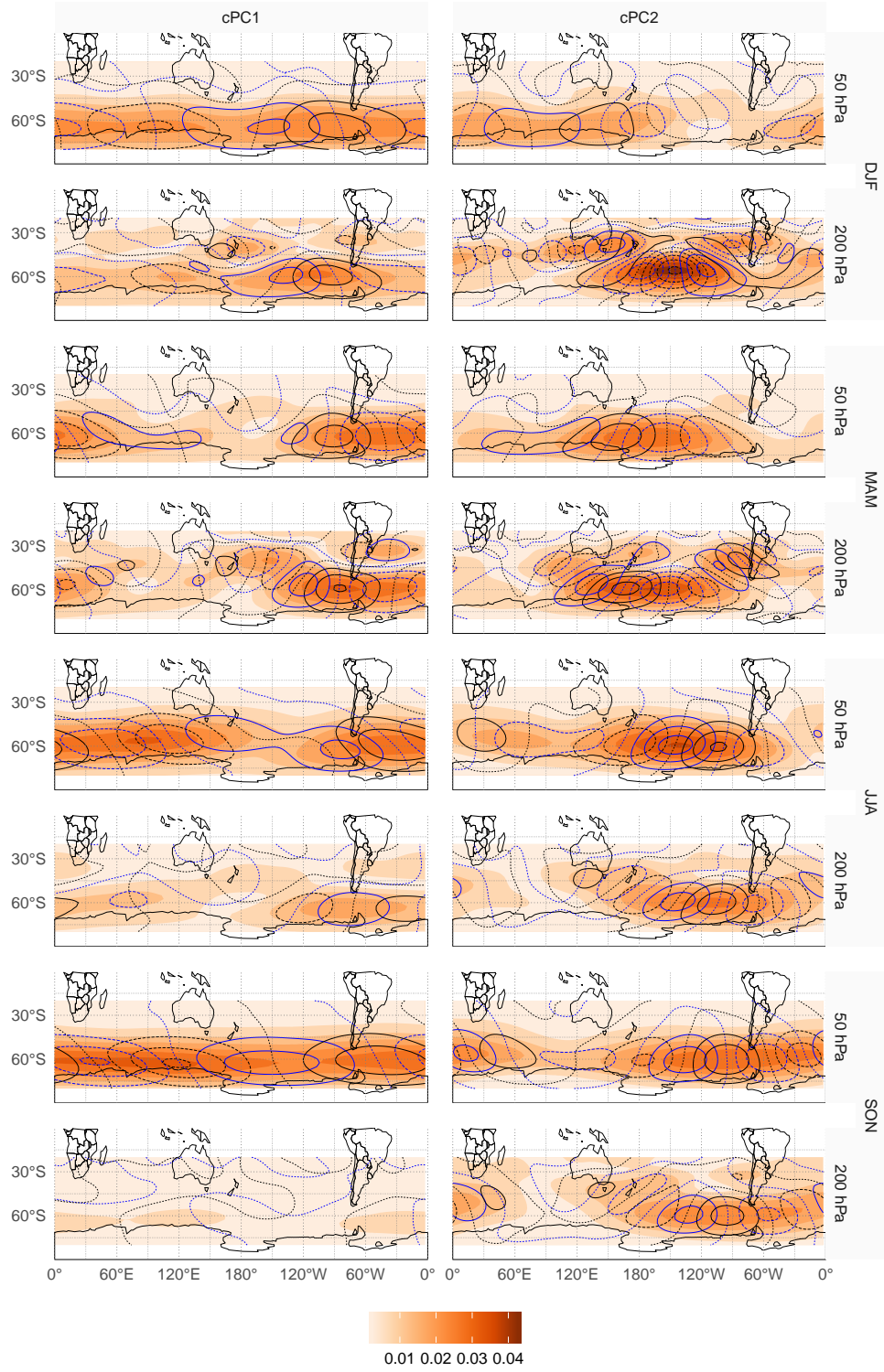


Figure 6: Patrones espaciales del EOF complejo. Valor absoluto en sombreado, parte real en linea negra y parte imaginaria en linea azul. (dataset = ERA Interim)

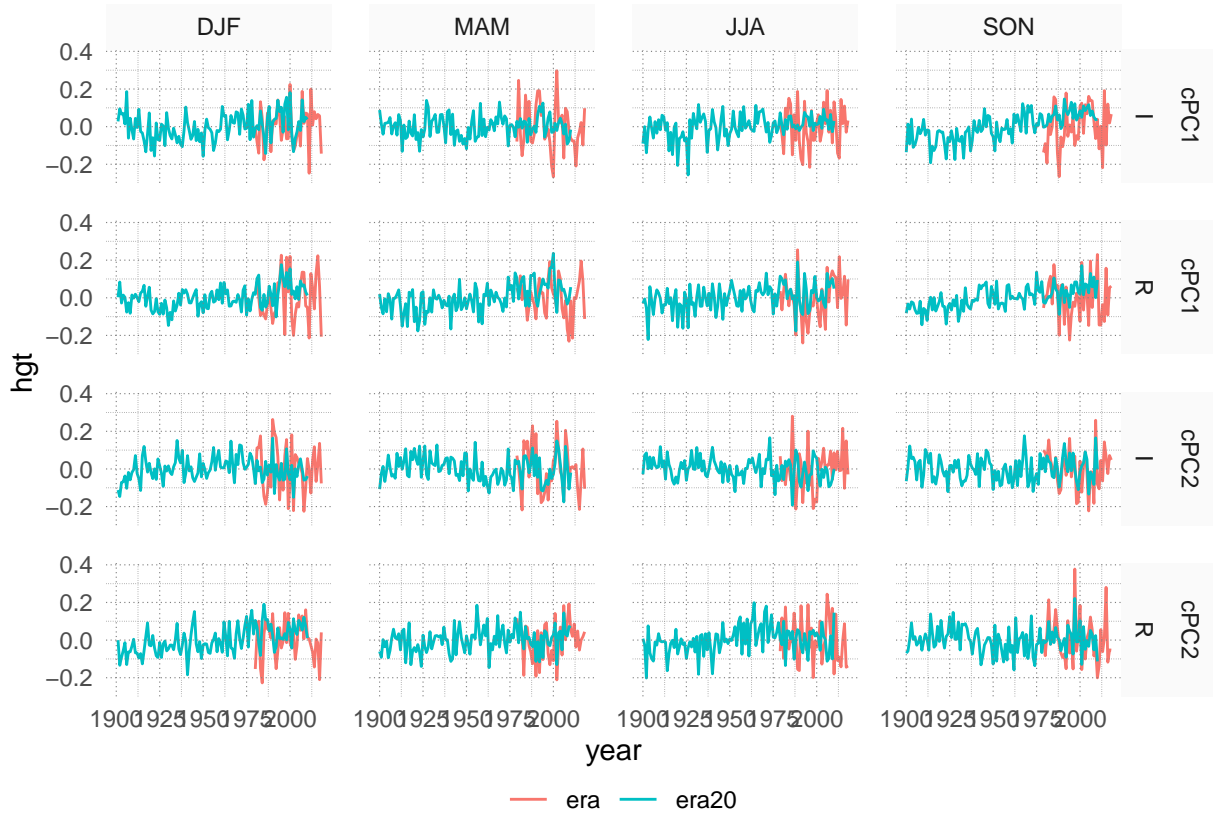


Figure 7: Series temporales de las partes reales e imaginarias de cada componente principal para ERA Interim y ERA20C

La correlación entre el la anomalía zonal de SST y las series temporales de casa EOF no da mucho significativo. El PC2 en SON tiene una señal significativa de tipo niño que se muestra con más detalle abajo:

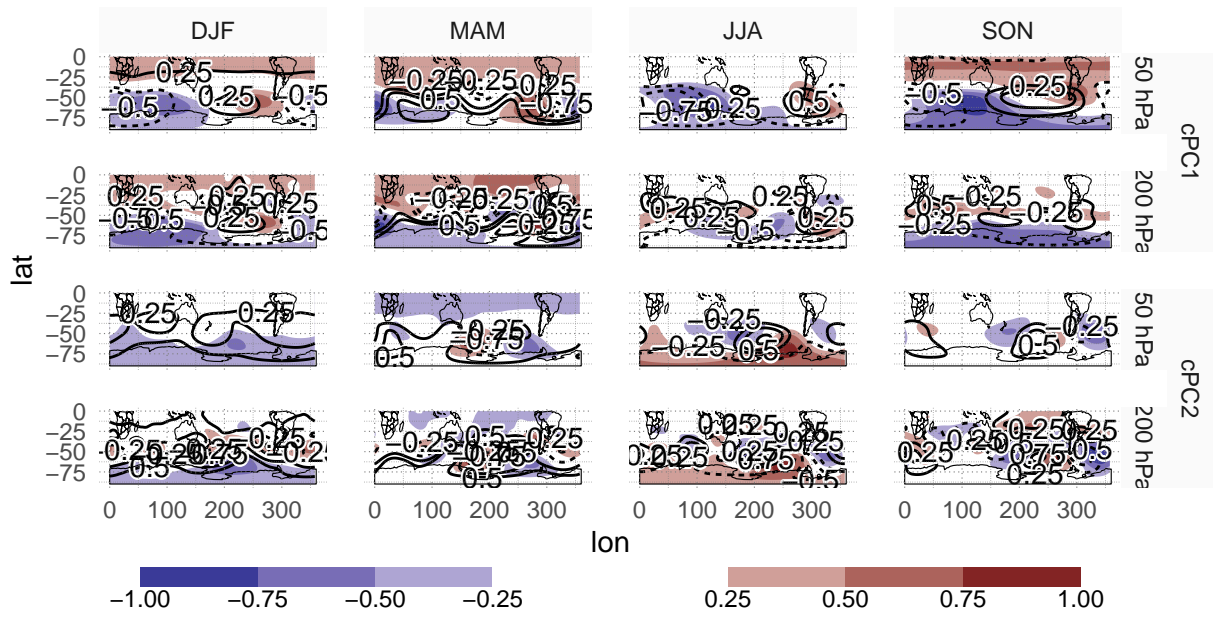


Figure 8: Correlación entre altura geopotencial y parte Real (sombreado) e Imaginaria (contornos) de cada componente principal

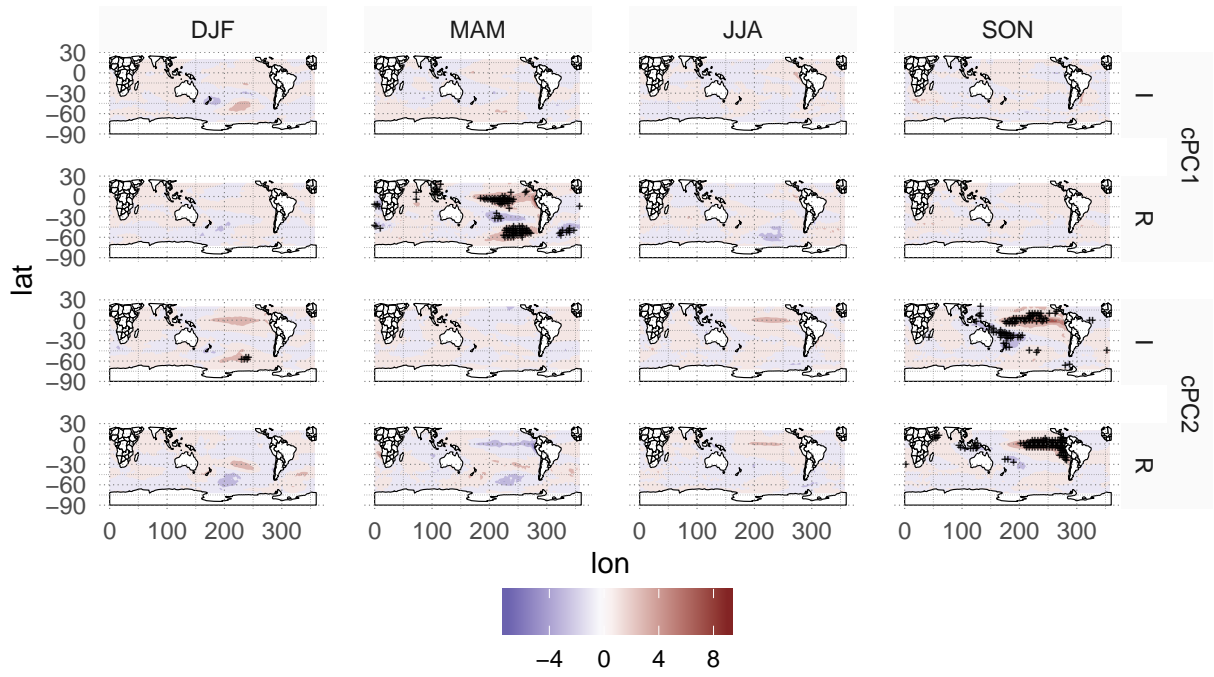
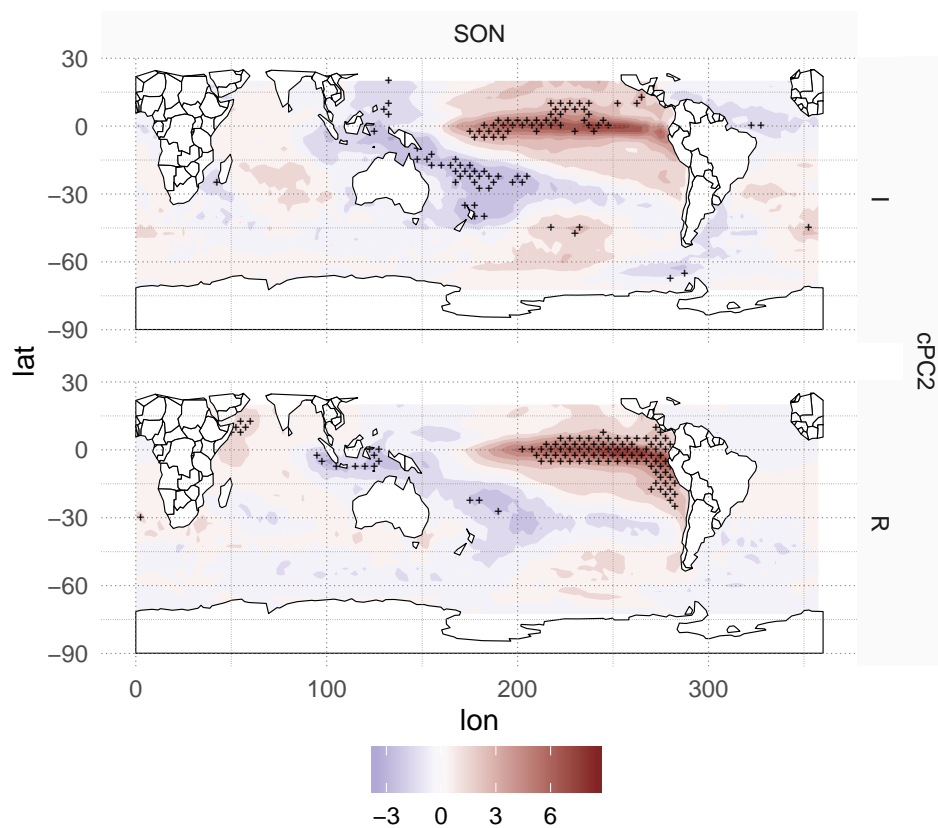
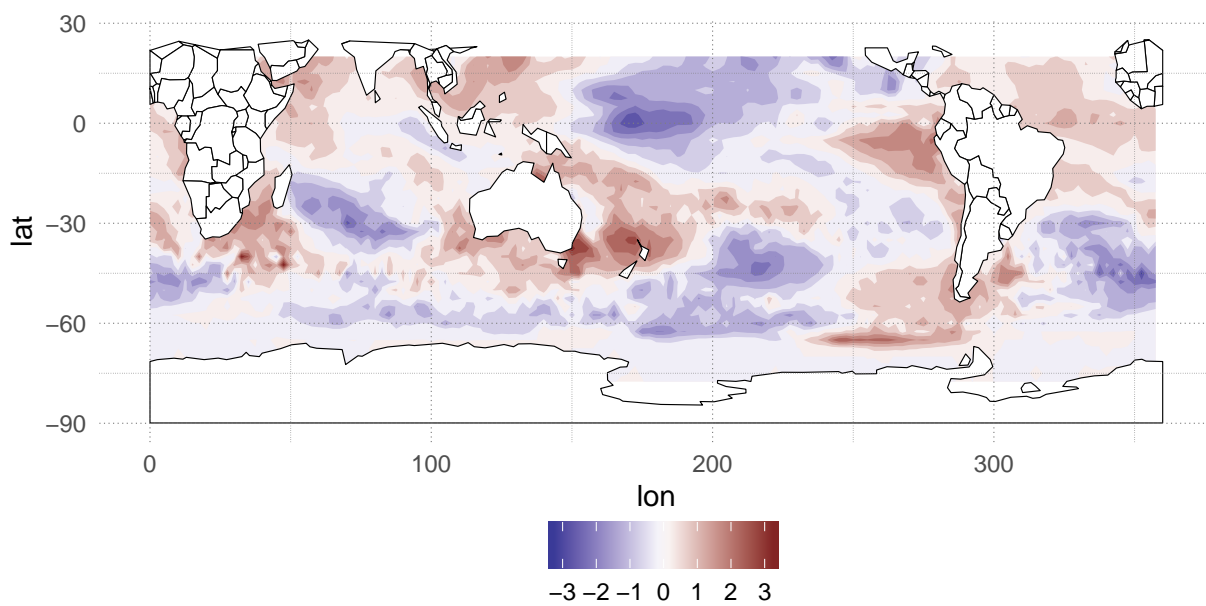
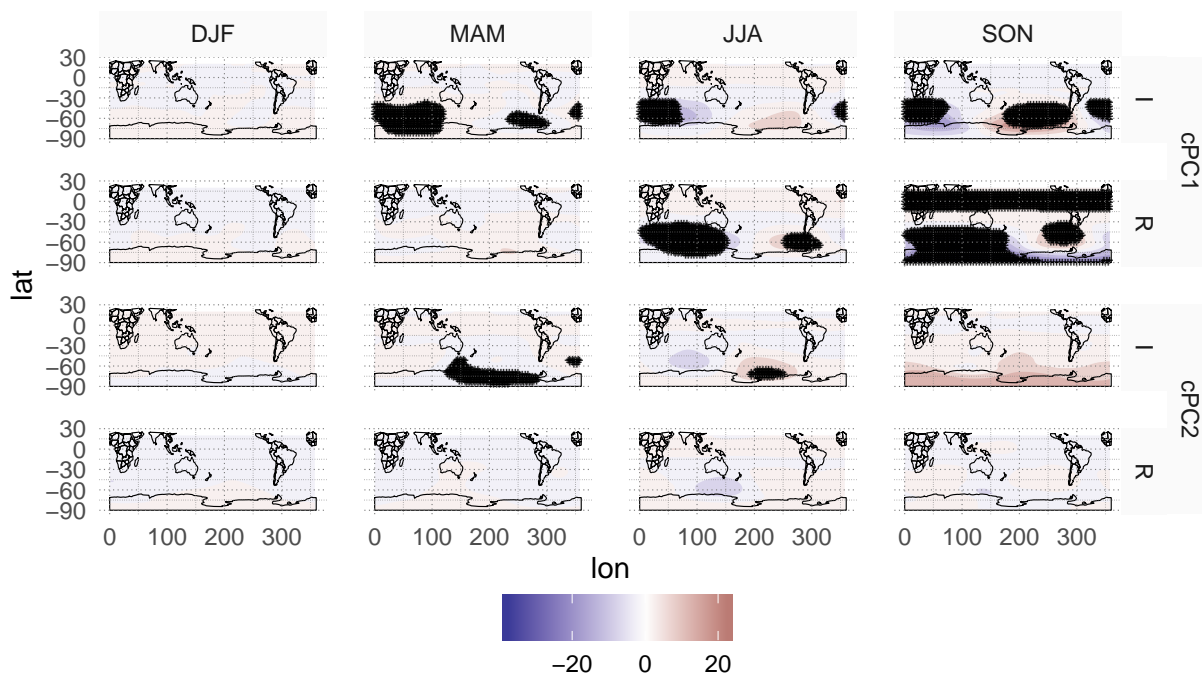


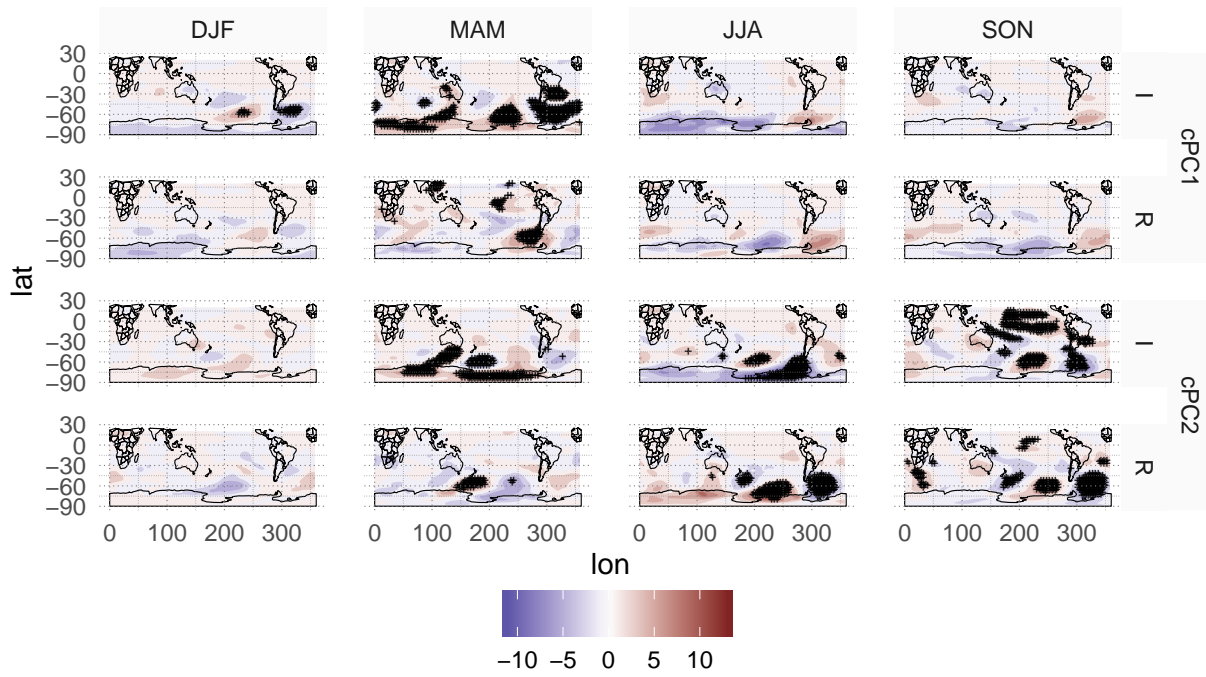
Figure 9: Regresión de la parte real e imaginaria de cada PC con la anomalía zonal de SST





Pareciera que la parte real está más asociada a temperaturas cálidas de lado este del pacífico mientras que la parte imaginaria está asociada a anomalías cálidas en la parte central. De todas formas las diferencias no son muy grandes.





Las regresiones con la temperatura muestran los efectos esperables de advección meridional por parte de las anomalías de circulación.

